



Institute for Design and Control of Mechatronic Systems

Identifikation von Intervallmodellen zur Prädiktion

von Manuel Schürz

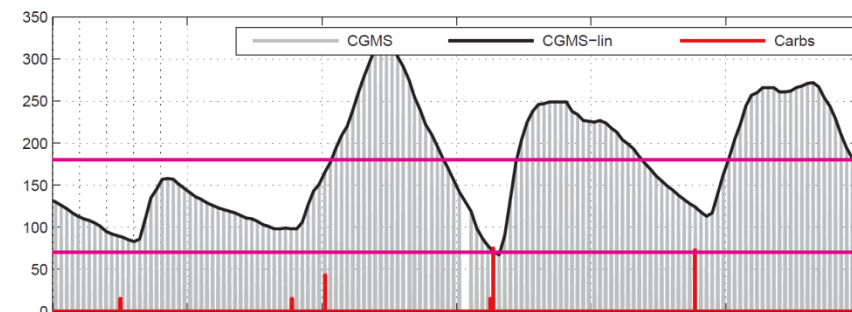
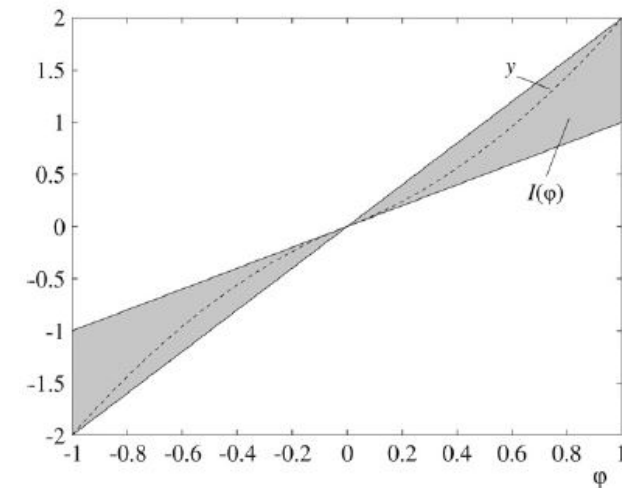
Betreuer: Dr. Harald Kirchsteiger

Sommersemester 2014



Ziele

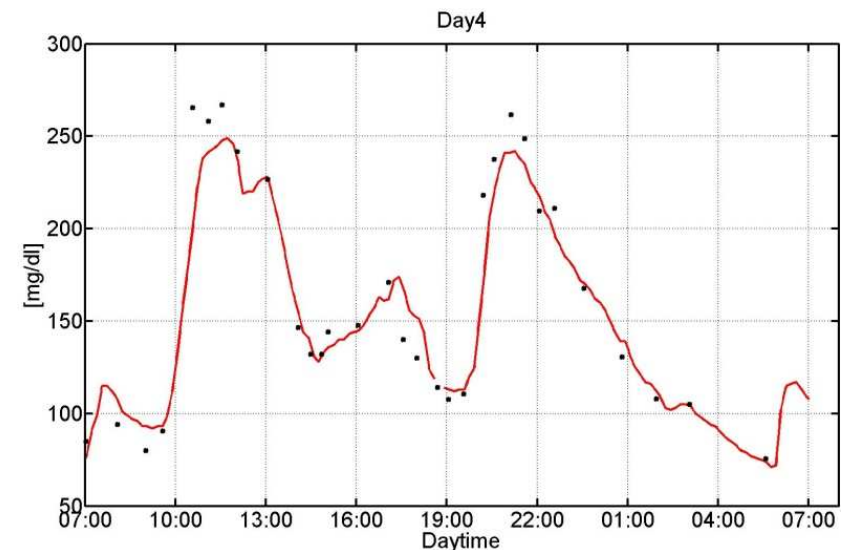
- Vorhersage des Blutzuckerspiegels von Diabetikern
→ Vermeiden von gefährlichen Unterzuckerungen
- Ein einzelner Wert ist nicht notwendig, die Angabe eines Intervalls ist sinnvoll
- Bestmögliche Robustheit gegen Messfehler
- Test und Validierung mit Messdaten von Typ 1 Diabetikern



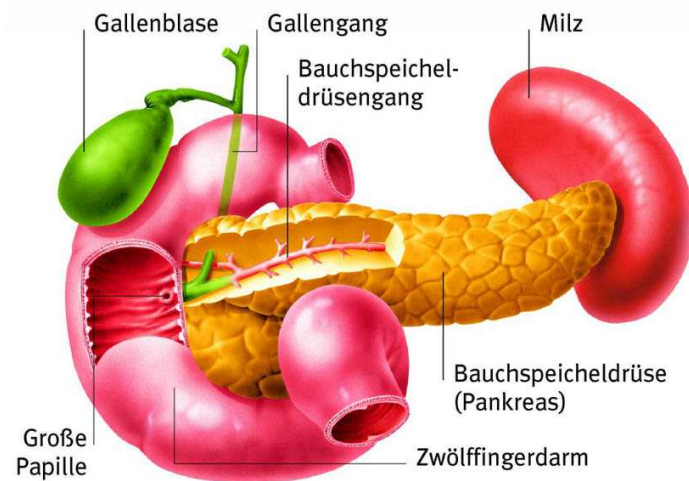
Medizinischer Hintergrund I – Der Glukosemetabolismus



- Blutzucker als Energieträger
- Aufnahme der Glukose aus der Nahrung
- Versorgung der Muskulatur und lebenswichtiger Organe mit Energie
- Leber dient als Glukosespeicher des Körpers
- Maximale und minimale Blutzuckerkonzentration



Medizinischer Hintergrund II – Die Bauchspeicheldrüse (Pankreas)



- Fungiert als natürliche Regelung des Glukosemetabolismus
- Produziert u.a. die Hormone Glukagon und Insulin
- Insulin führt zu:
 - Aufnahme von Blutglukose durch Muskeln
 - Speichern von Glukose in der Leber
 - Umwandlung überschüssiger Glukose in Fett

Medizinischer Hintergrund III – Diabetes mellitus

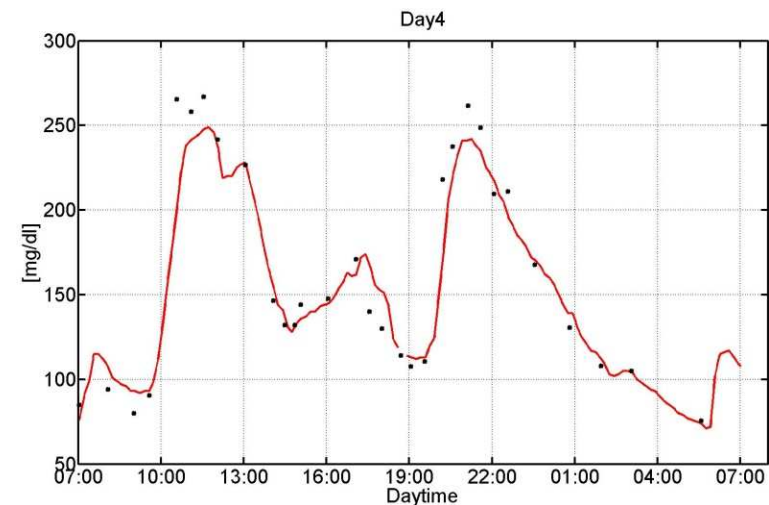


- Überbegriff für eine Gruppe von Stoffwechselstörungen
- Typ 1 Diabetes mellitus
- Typ 2 Diabetes mellitus
- 600.000 betroffene Menschen in Österreich (ca. 8%)
- Forschungsprojekt künstliche Pankreas



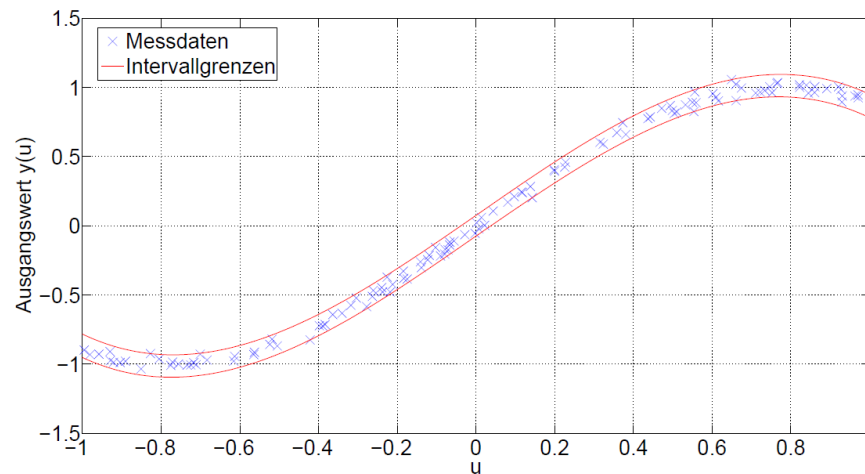


- Klinische Studie („ATOS“)
- Messungen von 30 Typ1 DiabetikerInnen über sieben klinische Tage
- Abbildung normaler Tagesverläufe und Evaluierung verschiedener CGM-Systeme





- 2 Kriterien:
 - Breite des Intervalls
 - Wahrscheinlichkeit, dass ein Messwert im Intervall liegt



Trade-off zwischen diesen beiden Kriterien

Ideale Lösung damit stark von der Anwendung abhängig



- Bestimmung des Intervalls entspricht folgender Abbildung:

$$I : \varphi \in \Phi \subseteq \mathbb{R}^n \rightarrow I(\varphi) \subseteq Y \subseteq \mathbb{R}$$

- Diese Abbildung kann durch die Einführung des Parametervektors q konkretisiert werden:

$$I(\varphi) = \{y : y = M(\varphi, q), \quad \text{für alle } q \in Q\} \quad Q \subseteq \mathbb{R}^{n_q}$$

- Eine mögliche Wahl für die Funktion M ist:

$$y = \vartheta^T \varphi + e, \quad \vartheta \in \Theta \subseteq \mathbb{R}^n, \quad |e| \leq \gamma \in \mathbb{R}$$



- Die Menge Θ kann nun auf unterschiedliche Art gewählt werden. Eine Parametrierung als n-dimensionale Kugel ergibt:

$$\Theta_K = \{\vartheta \in \mathbb{R}^n : \|\vartheta - c\| \leq r\}$$

- Alternativ kann die Menge auch als Ellipse parametrisiert werden:

$$\Theta_E = \{\vartheta \in \mathbb{R}^n : (\vartheta - c)^T P^{-1} (\vartheta - c) \leq 1\}$$

- Einsetzen der Menge der Parameter in die zuvor bestimmte Funktion M ergibt folgende Intervallgrenzen:

$$I(\varphi) = [c^T \varphi - (r\|\varphi\| + \gamma), c^T \varphi + (r\|\varphi\| + \gamma)]$$



- Identifikation basiert auf einer Minimierung der Intervallbreite

$$\hat{q} = \arg \min_{q \in Q} \mu_Q$$

so dass $y(t) \in I(\varphi(t)), t = 1, \dots, N$

- Kostenfunktion: $\mu_Q = \alpha r + \gamma$

$$\hat{q} = [\hat{c}, \hat{r}, \hat{\gamma}] = \arg \min_{c, r, \gamma} \alpha r + \gamma, \quad \text{so dass}$$

$$r, \gamma \geq 0$$

$$y(t) \geq c^T \varphi(t) - (r \|\varphi(t)\| + \gamma) \quad t = 1, \dots, N$$

$$y(t) \leq c^T \varphi(t) + (r \|\varphi(t)\| + \gamma) \quad t = 1, \dots, N$$

- Anzahl der Optimierungsvariablen: $n+2$
- Anzahl der Beschränkungen: $2N+2$

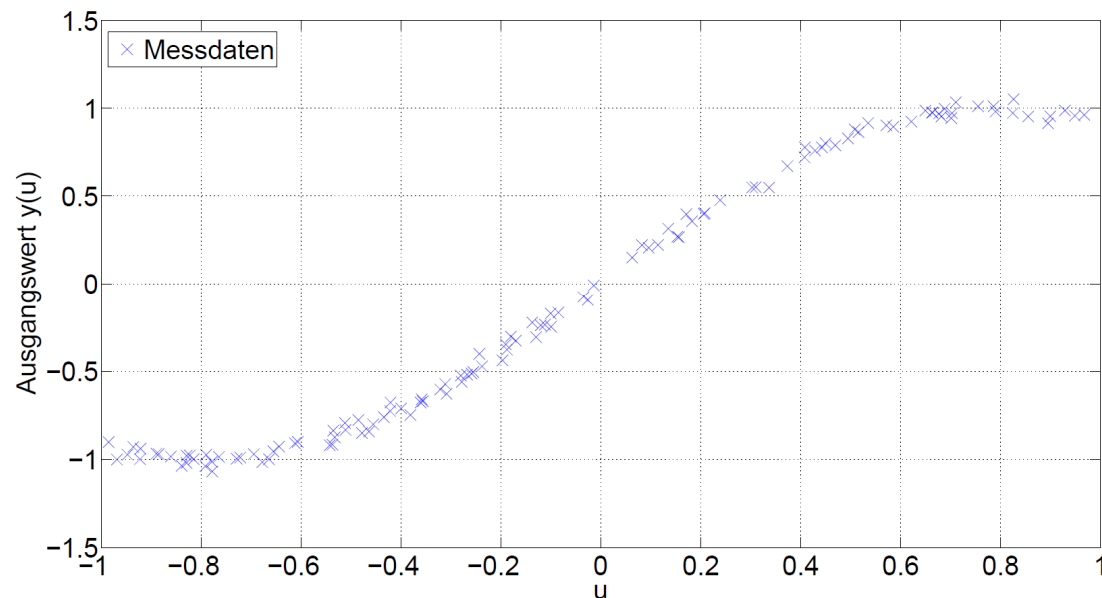


Implementierungsbeispiel I

- Statisches System zur Generierung der Messdaten:

$$y = \sin(2u) + w \quad w \sim \mathcal{N}(0, \lambda^2)$$

- Als Regressorvektor wurde $[u \ u^2]^T$ gewählt



Implementierungsbeispiel II



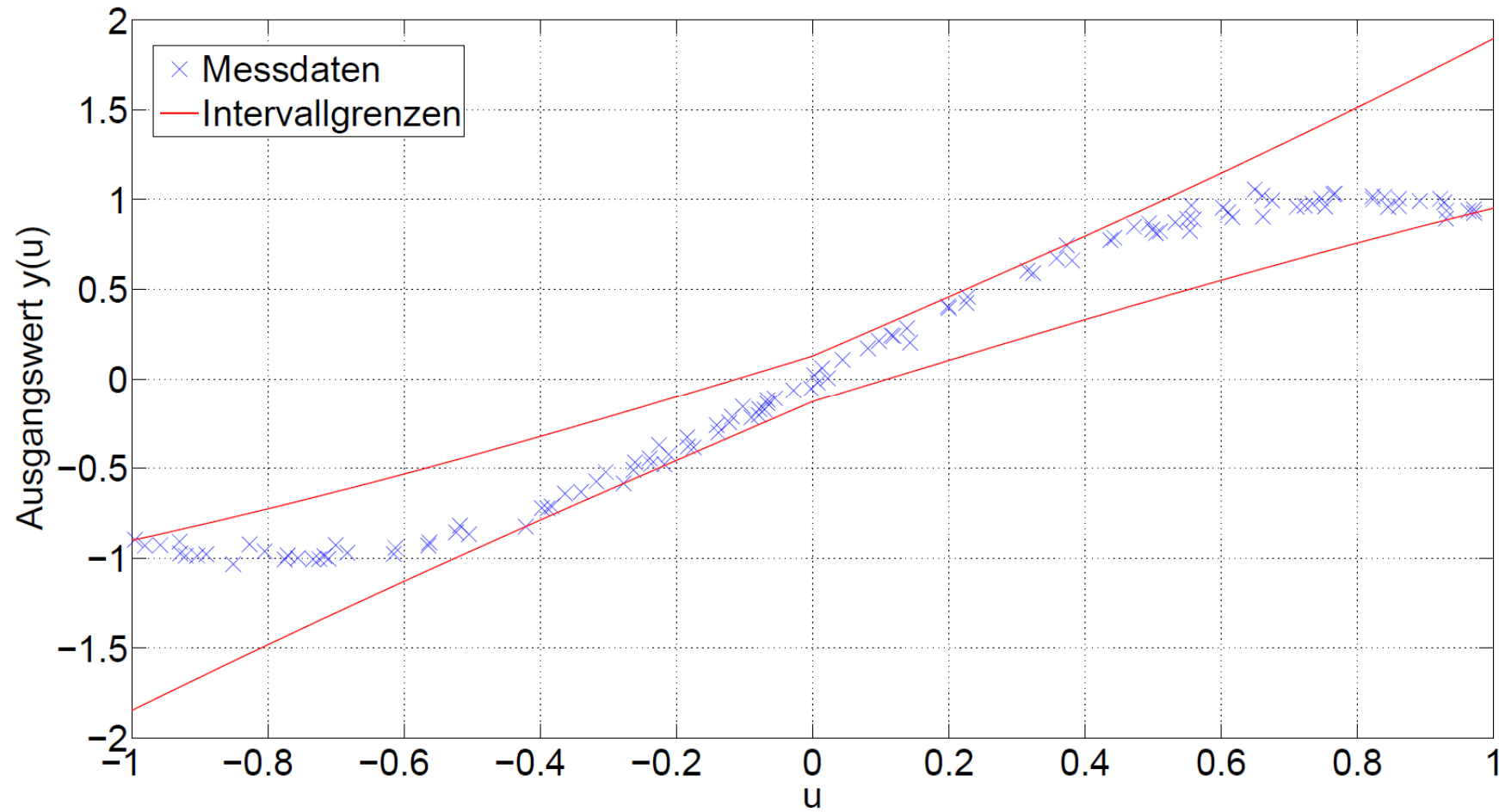
- Die Beschränkungen müssen in folgende Form gebracht werden:

$$\begin{pmatrix} u_1 & u_1^2 & -\sqrt{u_1^2 + u_1^4} & -1 \\ -u_1 & -u_1^2 & -\sqrt{u_1^2 + u_1^4} & -1 \\ u_2 & u_2^2 & -\sqrt{u_2^2 + u_2^4} & -1 \\ -u_2 & -u_2^2 & -\sqrt{u_2^2 + u_2^4} & -1 \\ \dots & \dots & \dots & \dots \end{pmatrix} \cdot \begin{pmatrix} c_1 \\ c_2 \\ r \\ \gamma \end{pmatrix} \leq \begin{pmatrix} y_1 \\ -y_1 \\ y_2 \\ -y_2 \\ \dots \end{pmatrix}$$

- Mit passend gewählten Anfangswerte für die Parameter ergibt die Optimierung mit der MATLAB-Funktion `fmincon()` folgende Werte:

$$x = [c_1, c_2, r, \gamma]^T = [1.339, -0.088, 0.161, 0.159]^T$$

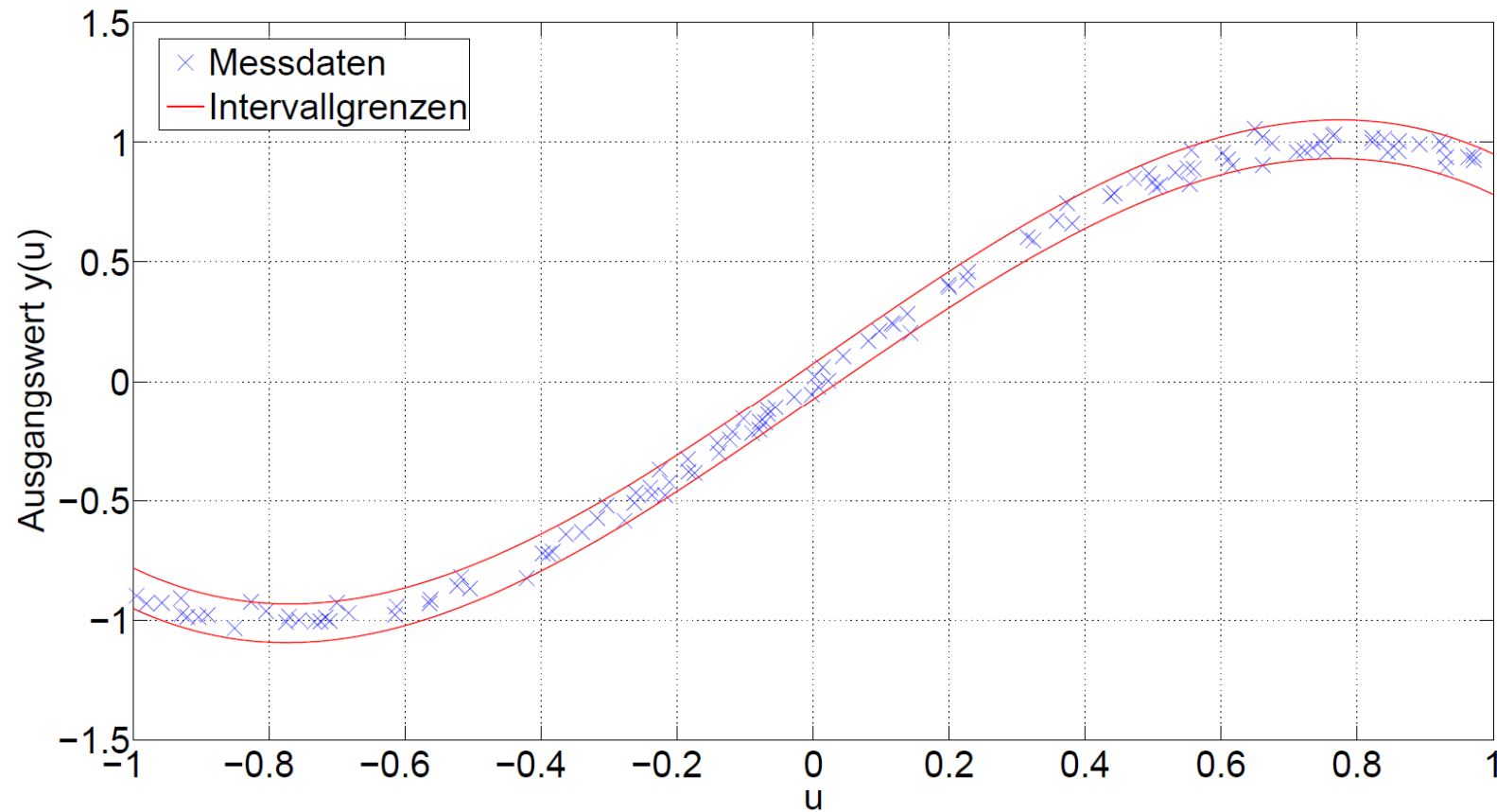
Implementierungsbeispiel III



Implementierungsbeispiel IV



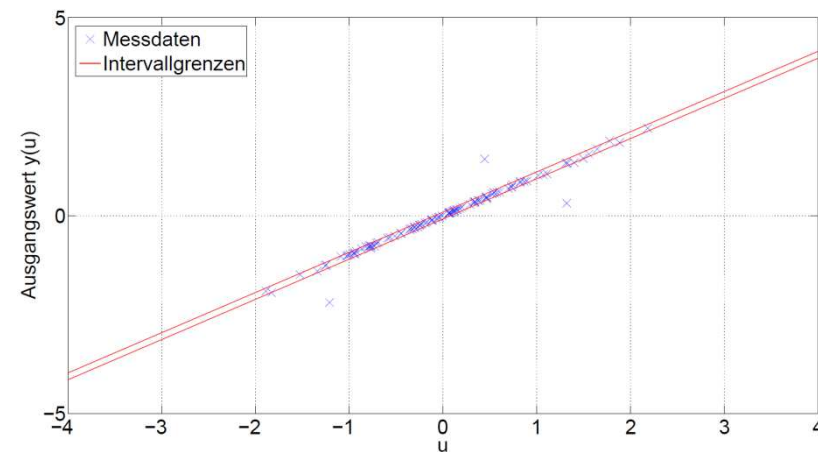
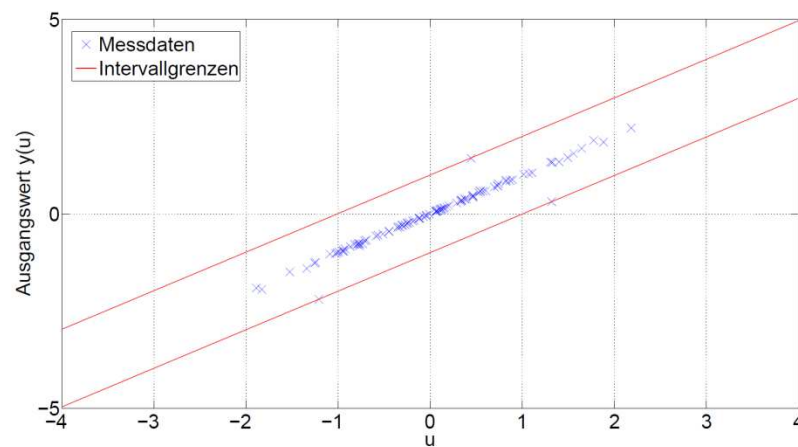
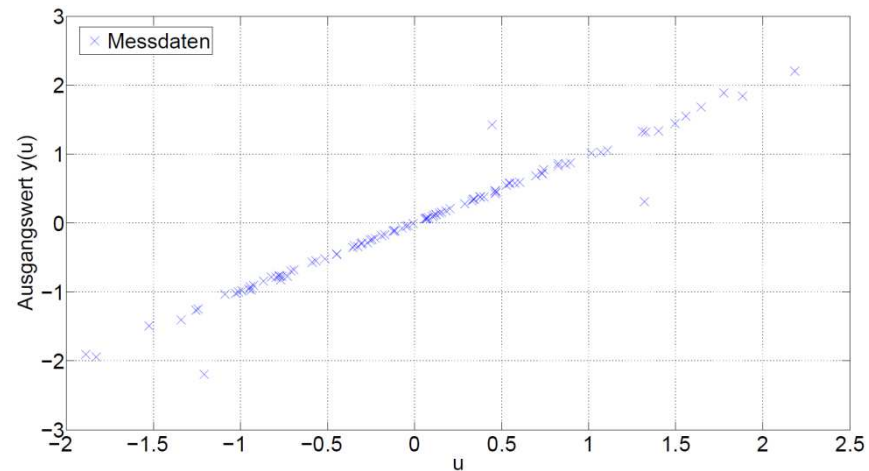
- Erweiterung des Regressorvektors auf $[u, u^2, u^3]$ liefert:



Weitere Implementierungsbeispiele I



- Identifikation und Neutralisation von Ausreißern



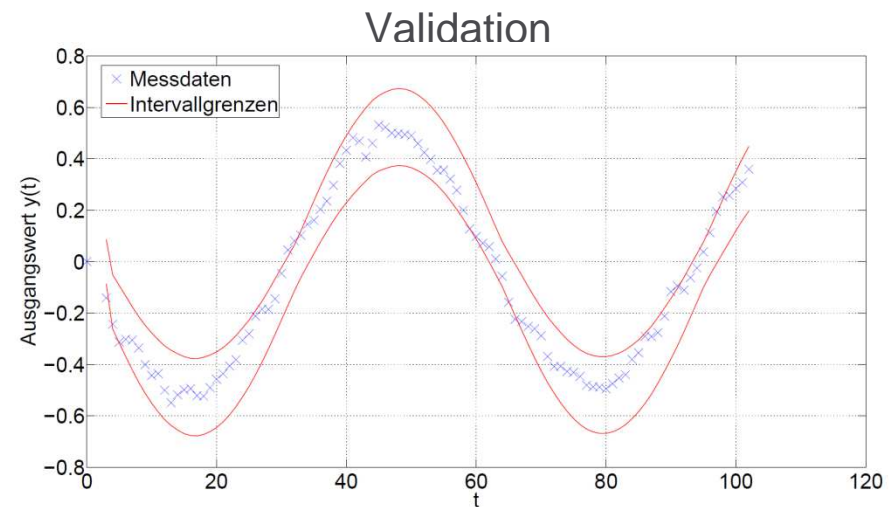
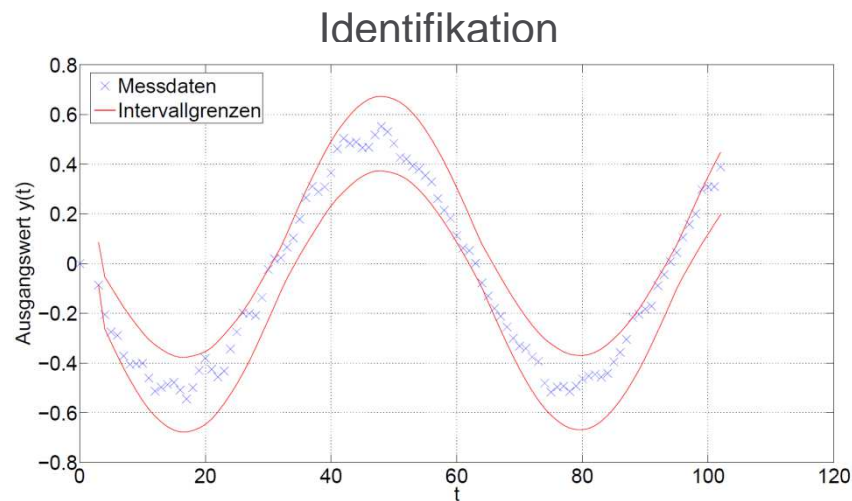


Weitere Implementierungsbeispiele II

- Erweiterung auf dynamische Systeme
 - System mit ARX-Struktur

$$u(t) = 2 \cdot \sin(0.1 \cdot t)$$

$$y(t) = -0.5 \cdot y(t - 2) + 0.7 \cdot y(t - 1) - 0.2 \cdot u(t) + \epsilon(t) \quad \epsilon(t) \sim \mathcal{N}(0, \lambda^2)$$



Weitere Implementierungsbeispiele III



- Erweiterung auf dynamische Systeme

- System mit AR-Struktur

- Eingangsdaten wurden aus dem Regressorvektor entfernt und kann durch weitere Ausgangswerte ersetzt werden

- zeitliche Prädiktion mit AR Modell

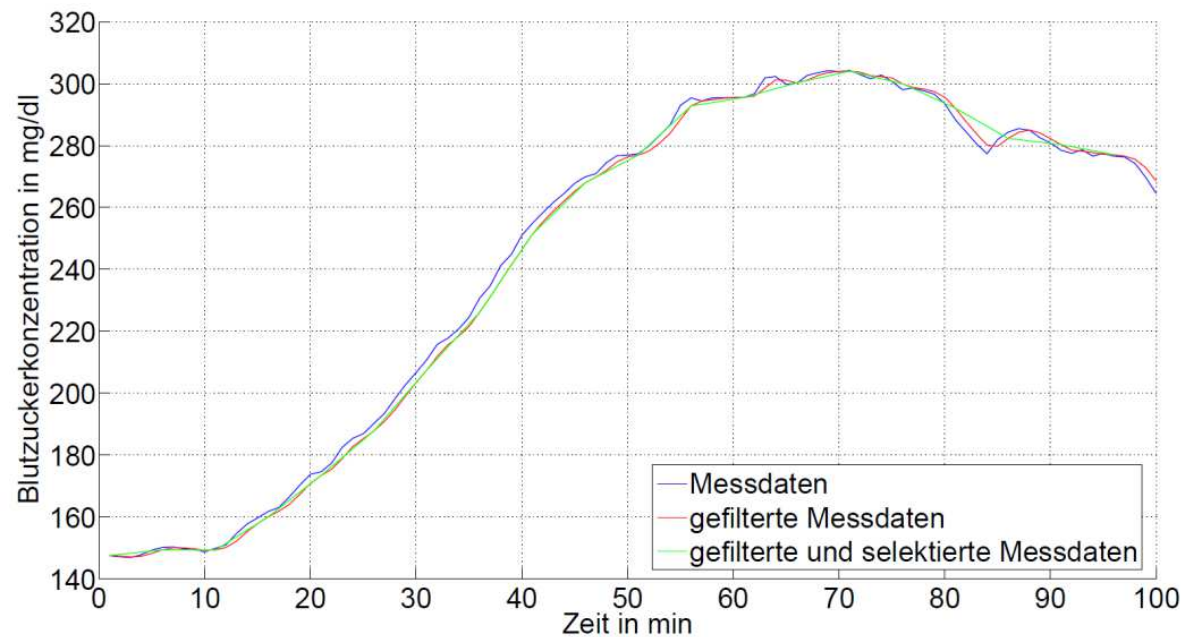
- Berechnung des erwarteten Wertes $y(t) = c^T \cdot \varphi(t)$

- Berechnung der Intervallgrenzen $y_{min}(t) = c^T \varphi(t) - (r \|\varphi(t)\| + \gamma)$
 $y_{max}(t) = c^T \varphi(t) + (r \|\varphi(t)\| + \gamma)$



Vorverarbeitung der Messdaten

- Vorverarbeitung der Messdaten
 - Tiefpassfilterung
 - Regularisierung nach Tikhonov



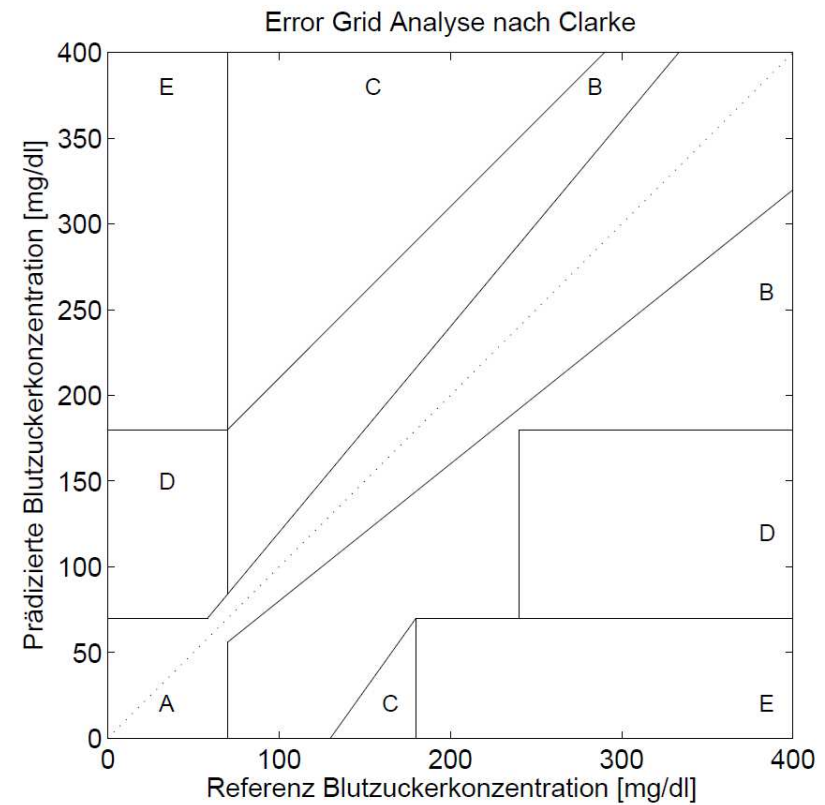
Bewertungskriterien



- Bewertungskriterien
 - FIT-Wert

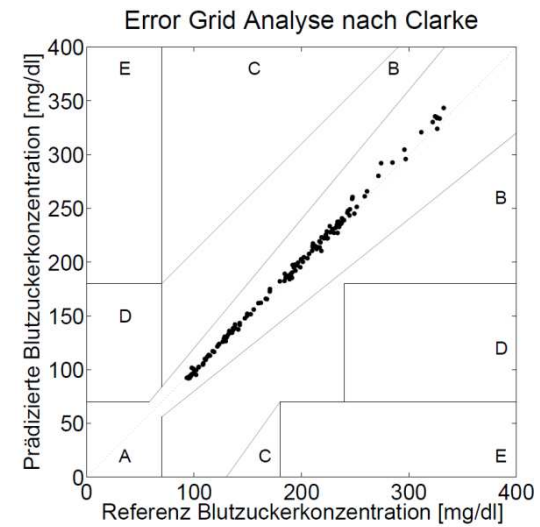
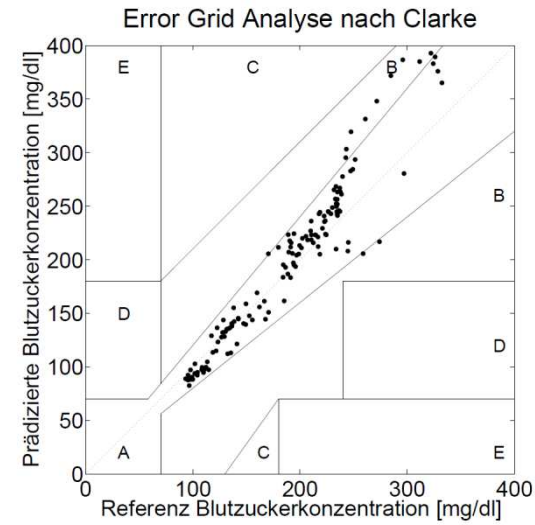
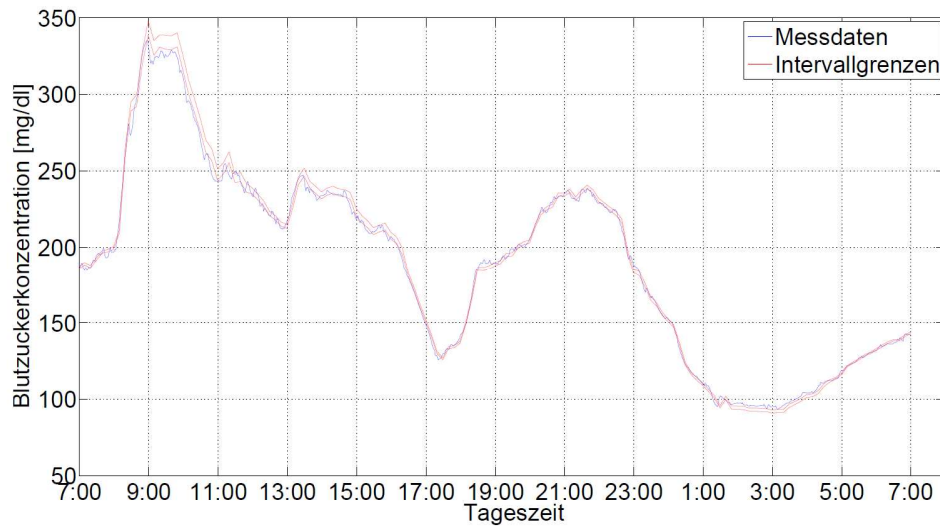
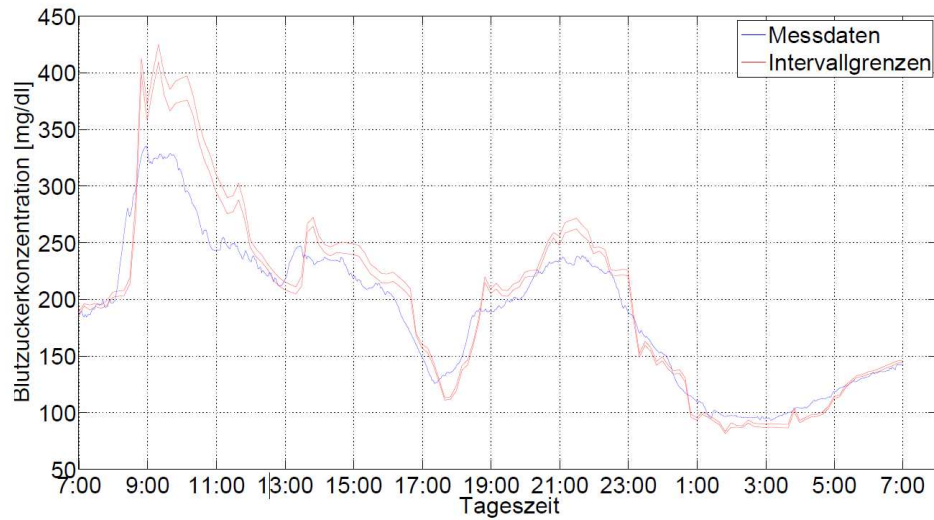
$$FIT = 100 \cdot \left(1 - \frac{\sum_{k=1}^N |y_k - \hat{y}_k|}{\sum_{k=1}^N |y_k - \bar{y}_k|} \right)$$

- Clarke Error Grid





Prädiktionsergebnisse



Statistische Auswertung I



Tabelle 1: FIT Werte der Prädiktionen

| | | PW 10 min | PW 20 min | PW 30 min | PW 50 min |
|----------|------|-----------|-----------|-----------|-----------|
| Patient1 | Tag2 | 91.86 | 78.64 | 62.40 | 23.30 |
| | Tag3 | 91.42 | 73.87 | 48.66 | -26.87 |
| | Tag4 | 89.41 | 68.10 | 33.86 | -73.90 |
| Patient2 | Tag2 | 88.88 | 73.28 | 55.34 | 14.45 |
| | Tag3 | 90.83 | 70.63 | 39.74 | -61.35 |
| | Tag4 | 88.94 | 64.79 | 29.46 | -79.52 |
| Patient3 | Tag2 | 88.98 | 67.13 | 38.12 | -36.86 |
| | Tag3 | 90.29 | 71.77 | 48.65 | -4.81 |
| | Tag4 | 89.94 | 69.13 | 42.27 | -21.28 |
| Patient4 | Tag2 | 88.56 | 68.03 | 41.65 | -31.55 |
| | Tag3 | 92.09 | 75.40 | 54.00 | 2.91 |
| | Tag4 | 89.17 | 66.89 | 36.72 | -36.17 |
| Patient5 | Tag2 | 77.58 | 38.16 | -14.75 | -155.11 |
| | Tag3 | 85.76 | 54.27 | 5.63 | -158.70 |
| | Tag4 | 88.03 | 64.26 | 31.79 | -67.38 |

Statistische Auswertung II



Tabelle 2: Prozentuelle Verteilung der Messpunkte im Clarke Error Grid

| | | PW 10 min | | | PW 20 min | | |
|----------|------|-----------|------|------|-----------|-------|------|
| | | % A | %B | %C | % A | %B | %C |
| Patient1 | Tag2 | 100.00 | 0.00 | 0.00 | 100.00 | 0.00 | 0.00 |
| | Tag3 | 100.00 | 0.00 | 0.00 | 88.28 | 11.72 | 0.00 |
| | Tag4 | 100.00 | 0.00 | 0.00 | 82.76 | 17.24 | 0.00 |
| Patient2 | Tag2 | 100.00 | 0.00 | 0.00 | 98.62 | 1.38 | 0.00 |
| | Tag3 | 100.00 | 0.00 | 0.00 | 86.21 | 13.10 | 0.69 |
| | Tag4 | 100.00 | 0.00 | 0.00 | 88.28 | 11.72 | 0.00 |
| Patient3 | Tag2 | 100.00 | 0.00 | 0.00 | 84.14 | 15.17 | 0.69 |
| | Tag3 | 100.00 | 0.00 | 0.00 | 91.03 | 5.52 | 3.45 |
| | Tag4 | 100.00 | 0.00 | 0.00 | 83.45 | 13.10 | 3.45 |
| Patient4 | Tag2 | 100.00 | 0.00 | 0.00 | 90.34 | 7.58 | 2.08 |
| | Tag3 | 98.62 | 1.38 | 0.00 | 86.21 | 8.28 | 5.51 |
| | Tag4 | 98.62 | 1.38 | 0.00 | 78.62 | 16.55 | 4.83 |
| Patient5 | Tag2 | 100.00 | 0.00 | 0.00 | 91.03 | 8.97 | 0.00 |
| | Tag3 | 100.00 | 0.00 | 0.00 | 89.66 | 9.66 | 0.69 |
| | Tag4 | 100.00 | 0.00 | 0.00 | 87.59 | 11.72 | 0.69 |

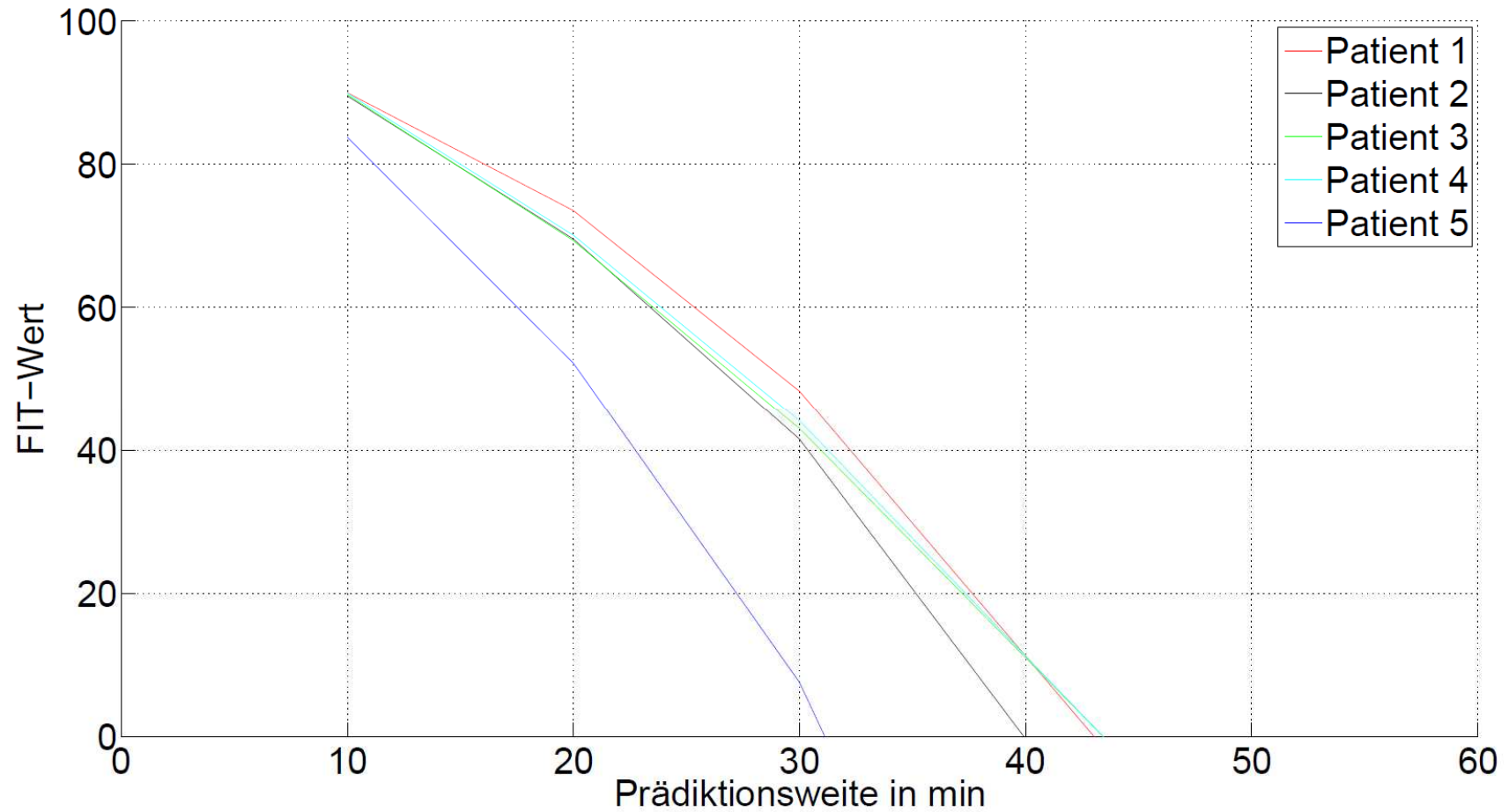
Statistische Auswertung III



Tabelle 3: Prozentuelle Verteilung der Messpunkte im Clarke Error Grid

| | | PW 30 min | | | PW 50 min | | |
|----------|------|-----------|-------|-------|-----------|-------|-------|
| | | % A | %B | %C | % A | %B | %C |
| Patient1 | Tag2 | 90.34 | 9.66 | 0.00 | 67.59 | 28.28 | 4.14 |
| | Tag3 | 66.21 | 31.72 | 2.07 | 40.00 | 42.76 | 17.24 |
| | Tag4 | 71.04 | 24.83 | 4.14 | 44.14 | 35.86 | 20.00 |
| Patient2 | Tag2 | 84.83 | 15.17 | 0.00 | 55.86 | 40.69 | 3.45 |
| | Tag3 | 64.83 | 33.79 | 1.38 | 51.72 | 26.90 | 21.38 |
| | Tag4 | 61.38 | 36.55 | 2.07 | 44.83 | 30.34 | 24.83 |
| Patient3 | Tag2 | 64.14 | 33.10 | 2.76 | 50.34 | 31.03 | 18.63 |
| | Tag3 | 69.66 | 24.83 | 5.51 | 46.20 | 30.34 | 23.46 |
| | Tag4 | 64.83 | 31.72 | 3.45 | 44.13 | 36.55 | 19.32 |
| Patient4 | Tag2 | 68.97 | 24.14 | 6.90 | 44.83 | 42.07 | 13.10 |
| | Tag3 | 68.97 | 21.38 | 9.66 | 46.21 | 33.79 | 20.00 |
| | Tag4 | 66.90 | 22.07 | 11.04 | 44.14 | 38.62 | 17.24 |
| Patient5 | Tag2 | 75.86 | 22.76 | 1.38 | 52.41 | 40.00 | 7.59 |
| | Tag3 | 72.41 | 22.07 | 5.52 | 44.83 | 36.55 | 18.62 |
| | Tag4 | 72.41 | 24.14 | 3.45 | 57.24 | 22.07 | 20.69 |

Statistische Auswertung IV

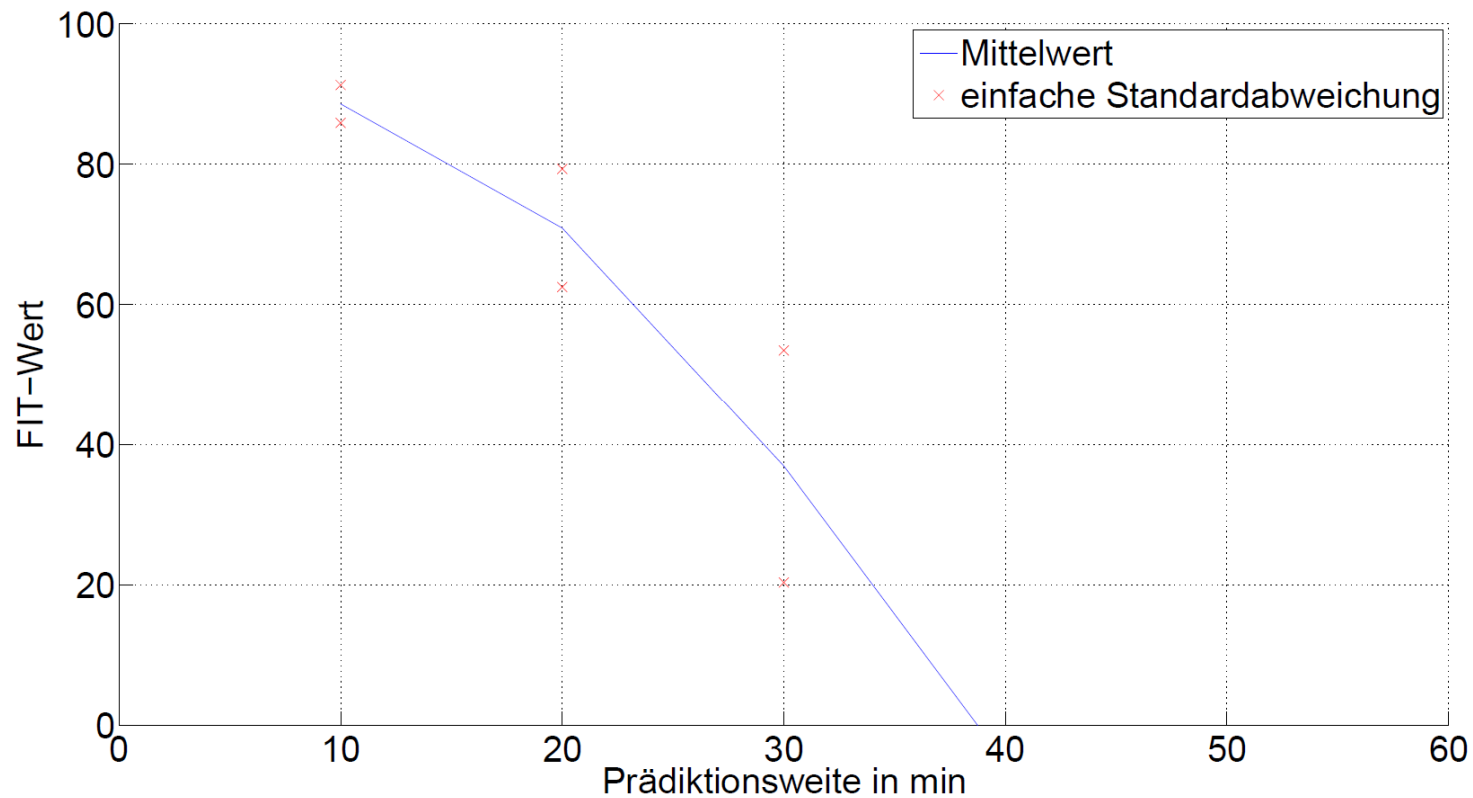


Statistische Auswertung V

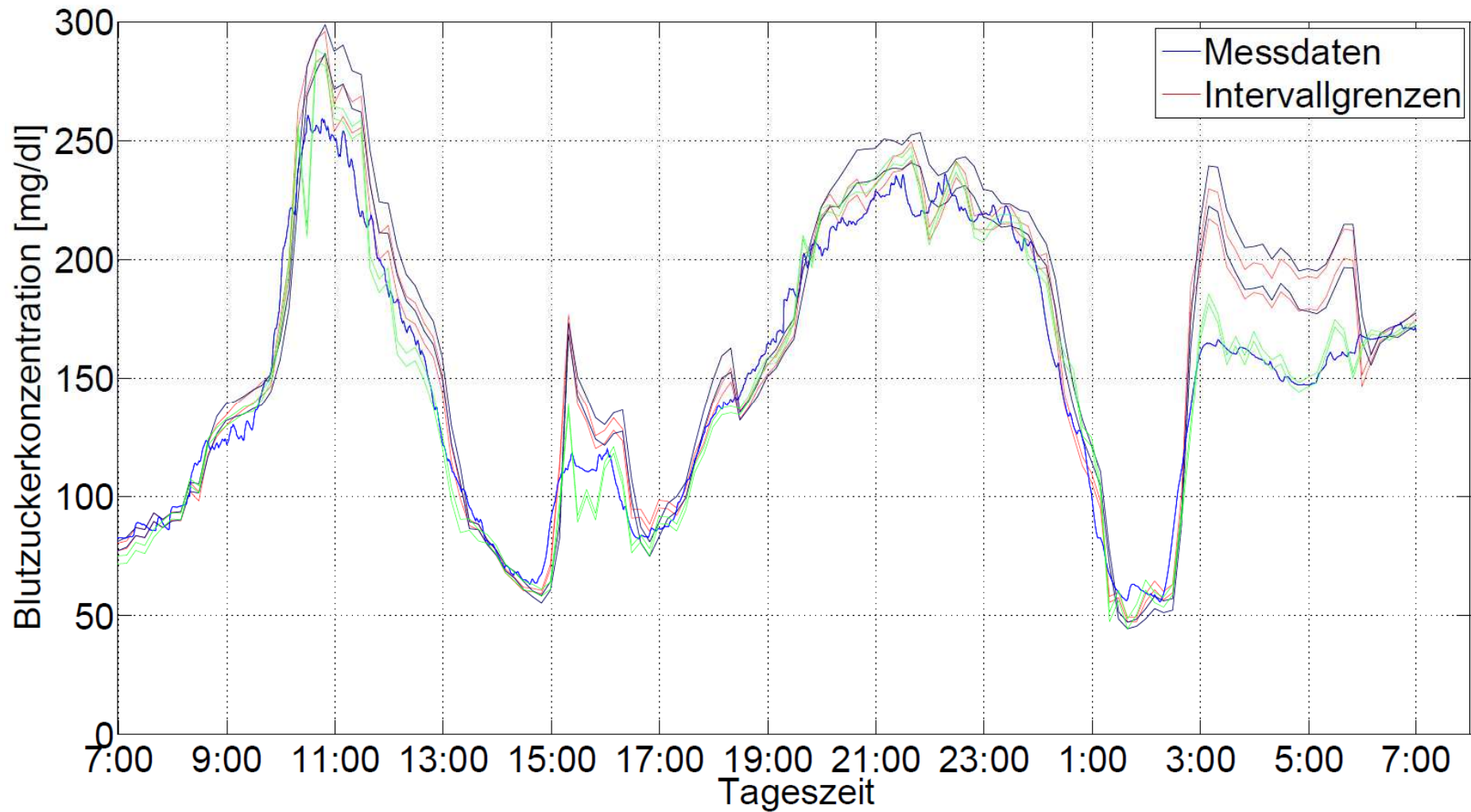


Tabelle 4: mittlere FIT-Werte und Standardabweichung

| | PW 10 min | PW 20 min | PW 30 min | PW 50 min |
|--------------------|-----------|-----------|-----------|-----------|
| FIT-Wert | 88.60 | 70.92 | 36.90 | -47.52 |
| Standardabweichung | 2.69 | 8.41 | 16.59 | 45.28 |



Variation der Kostenfunktion





- Für kleine Prädiktionsweiten (10-20 Minuten) werden gute Ergebnisse erzielt
- Prädiktionen mit höherer Prädiktionsweite nicht zuverlässig genug

- Integration von Eingangsdaten in den Regressorvektor
- Verwendung anderer Modellstrukturen (Implementierung von physiologischem Hintergrundwissen)
- Eingehende Analyse der Optimierung



Institute for Design and Control of Mechatronical Systems

Vielen Dank für Ihre Aufmerksamkeit!